

ภาคผนวก ค 二

การหน่วงໂລະໜັກຂອງຫັນກັນຊື່ມດິນແໜີຍວບດອດ



## การหน่วงโลหะหนักของชั้นกันซึมดินเหนียวบดอัด

### RETARDATION OF HEAVY METALS IN COMPACTED CLAY LINERS

**ธนิต เจริญยานันท์ (Tanit Chalermyanont)<sup>1</sup>**

**สุรพล อารีย์กุล (Surapon Arrykul)<sup>2</sup>**

**นันทนิทย์ เจริญไชสง (Nantanit Charoenthaisong)<sup>3</sup>**

<sup>1</sup> ผู้ช่วยศาสตราจารย์ ภาควิชาชีวกรรมโยธา คณะชีวกรรมศาสตร์ มหาวิทยาลัยสงขลานครินทร์ tanit.c@psu.ac.th

<sup>2</sup> รองศาสตราจารย์ ภาควิชาชีวกรรมเนื้องเรื่องและวัสดุ คณะชีวกรรมศาสตร์ มหาวิทยาลัยสงขลานครินทร์ surapon.a@psu.ac.th

<sup>3</sup> ผู้ช่วยวิจัย ภาควิชาชีวกรรมโยธา คณะชีวกรรมศาสตร์ มหาวิทยาลัยสงขลานครินทร์ nantanitc@hotmail.com

**บทคัดย่อ :** ดินเหนียวบดอัดมักถูกใช้เป็นชั้นกันซึมสำหรับบ่อฝังกลบมูลฝอยหรือบ่อบาดนำเสนอ การเคลื่อนที่ของสารปนเปื้อนผ่านชั้นดินเหนียวประกอบด้วย การแพร่ การพา และการหน่วง ดินเหนียวซึ่งมีประจุลบสามารถหน่วงสารปนเปื้อนซึ่งเป็นสารละลายที่มีประจุบวกได้ ความสามารถในการหน่วงของดินต่สารละลายเรียกว่า แฟคเตอร์การหน่วง การวิจัยครั้งนี้ได้ศึกษาหาค่าแฟคเตอร์การหน่วงโดยใช้การทดสอบสองแนวทาง ได้แก่ การหาค่าแฟคเตอร์การหน่วงโดยคำนวณจากสัมประสิทธิ์การแบ่งที่ได้จากการทดลองแบบแนวทั่ว และการหาค่าแฟคเตอร์การหน่วงโดยตรงจากการทดสอบแบบสุดยอด ดินเหนียว 2 ชนิดถูกใช้ในการทดสอบอันได้แก่ดินลูกรังและดินเหนียวมารีน โดยใช้สารละลายโลหะหนัก 3 ชนิด ได้แก่ ตะกั่ว สังกะสี และ แคลเมียม ผลการทดสอบพบว่า ดินเหนียวมารีนมีความสามารถใน หน่วงมากกว่าดินลูกรัง ลำดับการหน่วงจากมากไปน้อยของดินทั้งสองชนิดคือสารละลายโลหะหนักสองคล้องกันและสามารถเริ่งจากมากไปน้อยดังนี้ ตะกั่ว สังกะสี และ แคลเมียม นอกจากนั้นยังพบว่า ค่าแฟคเตอร์การหน่วงที่ได้จากการทดสอบแบบสุดยอดมีค่าที่ต่ำกว่าและถูกต้องมากกว่าค่าที่ได้จากการทดสอบแบบทั่ว

**ABSTRACT :** Compacted clay is normally used as a liner in landfills or waste water containment facilities. Transport mechanism of contaminants through the compacted clay consists of advective transport, diffusive transport, and retardation. A clayey soil having negative charges can retard the transport of positively-charged solutions. In this study, retardation factors of two clayey soils were determined using two approaches. For the first approach, the retardation factors were calculated using a partitioning coefficient obtained from a batch adsorption test. The second approach for determining retardation factors was achieved by conducting a column test. Two local clayey soils, namely a lateritic soil and a marine clay, and three heavy metal solutions, namely lead, zinc, and cadmium, were used to determine their retardation factors. Experimental results indicate that the marine clay had greater retardation capability than that of the lateritic soil. Retardation capability of both soils on heavy metal solutions ranked by descending order was lead, zinc, and cadmium. In addition, the retardation factors obtained from the column tests were less and more realistic than those obtained from batch adsorption tests.

**KEYWORDS :** Retardation, Heavy metal, Compacted clay, Liners, Contaminant transport

## 1. บทนำ

ชั้นกันซึม (Liner) ของบ่อฝังกลุ่มน้ำมูลฟอยล์ที่ก่อสร้างอย่างถูกหลักสุขागามาต้องสามารถป้องกันการไหลซึมของน้ำระบายน้ำมูลฟอยล์ที่มีสารปนเปื้อนไม่ให้ไหลผ่านลงไปสู่ชั้นดินได้ดินดังนั้นสร้างชั้นกันซึมที่ดีต้องเลือกใช้ดินให้เหมาะสมด้วย การเคลื่อนที่ของสารปนเปื้อนผ่านชั้นกันซึมประกอบด้วย การพา (Advection transport) การแพร่ (Diffusive transport) และ การหน่วง (Retardation) คุณสมบัติของชั้นกันซึมที่ดีคือต้องมีค่าสัมประสิทธิ์การยอมให้น้ำซึมผ่าน (Hydraulic conductivity, K) ต่ำกว่า  $1 \times 10^{-7} \text{ cm/s}$  ซึ่งจะทำให้การเคลื่อนที่แบบการพาของน้ำระบายน้ำมูลฟอยล์ต่ำ

คุณสมบัติที่เหมาะสมจะใช้เป็นชั้นกันซึมที่ดีอีกอย่างหนึ่งคือความสามารถในการหน่วง ซึ่งคือความสามารถในการคัดกรองสารปนเปื้อนในน้ำระบายน้ำมูลฟอยล์มาติดผิวของอนุภาคดิน ทำให้การเคลื่อนที่ของสารปนเปื้อนช้าลง โดยดินเหนียวที่นำมาใช้เป็นชั้นกันซึมจะมีประจุลบซึ่งเกิดขึ้นตามธรรมชาติ ประจุลบนี้สามารถดูดติดผิวหรือหน่วงประจุบวกของสารปนเปื้อนที่อยู่ในน้ำระบายน้ำมูลฟอยล์ได้ ดินเหนียวแต่ละชนิดจะมีความสามารถในการหน่วงได้ไม่เท่ากัน ความสามารถในการหน่วงโดยหนักสามารถแสดงได้โดยใช้พารามิเตอร์ที่เรียกว่า แฟกเตอร์การหน่วง (Retardation factor, R)

การศึกษาครั้นนี้ ได้เสนอและเปรียบเทียบวิธีการหาค่า R ของดินเหนียวบดดองชนิดอันได้แก่ดินลูกรังและดินเหนียวมารีน และ โลหะหนักสามชนิดอันได้แก่  $\text{Pb}^{2+}$ ,  $\text{Cd}^{2+}$ , และ  $\text{Zn}^{2+}$  โดยใช้วิธีการหาค่า R สองวิธี ได้แก่ การคำนวณโดยผลการทดลองแบบแบบทช์ (Batch adsorption test) และการคำนวณโดยใช้ผลการทดสอบแบบส่วนตัว (Column test)

## 2. ทฤษฎีการเคลื่อนที่ของสารปนเปื้อน

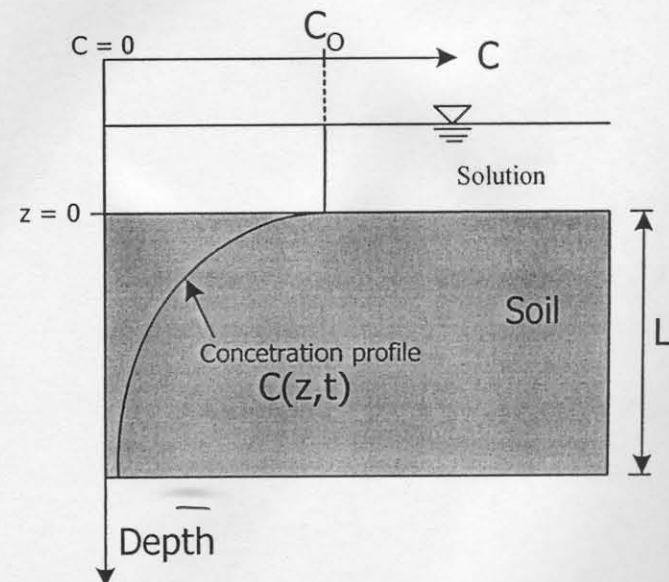
### 2.1 การเคลื่อนที่ของสารปนเปื้อนในดิน

การเคลื่อนที่ของสารปนเปื้อนที่เป็นสารที่มีประจุบวกในดินประกอบด้วย 2 กลไกหลัก ได้แก่ การเคลื่อนที่แบบการพา (Advection) และ การเคลื่อนที่แบบการแพร่ (Diffusion) นอกจากนั้นถ้าในดินมีประจุลบ ดินชนิดนี้ก็สามารถหน่วง (Retardation) การเคลื่อนที่ของสารปนเปื้อนเหล่านี้ได้ด้วย การเคลื่อนที่ของสารละลายในดินในรูปของความเข้มข้นเทียบกับเวลา (*t*) และความลึก (*z*) ในดินได้แสดงในรูปที่ 1 สมการที่ใช้

อธิบายการเคลื่อนที่นี้เรียกว่า สมการการพาและการแพร่ (Advection-Diffusion Equation) [1]

$$\frac{D}{R} \frac{\partial^2 C}{\partial z^2} - \frac{v_s}{R} \frac{\partial C}{\partial z} = \frac{\partial C}{\partial t} \quad (1)$$

เมื่อ  $D$  = Diffusion coefficient,  $C$  = ความเข้มข้นของสารปนเปื้อน,  $v_s$  = ความเร็วในการไหลซึมของน้ำในดิน,  $L$  = ความหนาของดิน และ  $R$  = แฟกเตอร์การหน่วง



รูปที่ 1 ความเข้มข้นของสารละลายในดิน

### 2.2 การหาค่า R

การหาค่า R สามารถกระทำได้ 2 วิธี ดังนี้

1) การหาค่า R โดยใช้ผลการทดลองแบบแบบทช์

ผลการทดลองแบบแบบทช์จะแสดงในรูปของไอโซเทอม สำหรับไอโซเทอมแบบเส้นตรง ความชันของไอโซเทอมเรียกว่า สัมประสิทธิ์พาร์ทิชั่น (Partitioning coefficient,  $K_p$ ) ค่า  $R$  สามารถคำนวณได้จาก [1]

$$R = 1 + \frac{\rho_d K_p}{n} \quad (2)$$

เมื่อ  $\rho_d$  = ความหนาแน่นแห้งของดิน,  $n$  = ความพุ่นของดิน

2) การหาค่า R โดยใช้ผลการทดสอบแบบส่วนตัว

Shackelford (1990) [2] เสนอค่าตอบของสมการการเคลื่อนที่ในหนึ่งมิติของสารละลายในดิน (สมการที่ 1) ในรูปของ

Analytical solution ในรูปของความเข้มข้นสัมพัทธ์ (Relative concentration,  $C(z,t)/C_0$ ) ดังแสดงในสมการที่ 3

$$\frac{C(z,t)}{C_0} = \frac{1}{2} \left\{ \operatorname{erfc} \left[ \frac{1-T_R}{2\sqrt{\frac{T_R}{P_L}}} \right] + \exp(P_L) \operatorname{erfc} \left[ \frac{1+T_R}{2\sqrt{\frac{T_R}{P_L}}} \right] \right\} \quad (3)$$

เมื่อ  $C(z,t)$  คือ ความเข้มข้นของสารละลายในดินที่ความลึก  $z$  และเวลา  $t$ ,  $C_0$  คือความเข้มข้นเริ่มต้นที่ดินน้ำ (Effluent concentration),  $T_R$  คือ เพคเตอร์ของเวลา (Time Factor) =  $\frac{V_s t}{Rz}$  และ  $P_L$  คือ พิกเลบ์นัมเบอร์ (Peel Number) =  $\frac{V_s z}{D}$

ผลการทดสอบแบบส่วนภักดีสามารถน้าไปคำพูนหาค่า  $R$  ได้โดยใช้ผลความเข้มข้นสัมพัทธ์ซึ่งเป็นค่าความเข้มข้นของสารละลายในช่องว่างในดิน หรือใช้ค่าความเข้มข้นของสารละลายที่ถูกดูดดึงโดยดิน มาฟิดกับสมการที่ 3 โดยวิธี Trial and error

### 3. วิธีการศึกษา

#### 3.1 ดินเหนียวและโลหะหนัก

การศึกษารังนี้ได้ศึกษาโลหะหนัก 3 ชนิด ได้แก่ แแคดเมียม, ตะกั่ว, และ สังกะสี ซึ่งเตรียมจากการละลาย  $\text{CdCl}_2$ ,  $\text{PbCl}_2$ , และ  $\text{ZnCl}_2$  ด้วยน้ำกลั่น (Deionized Water) และดินที่ใช้ศึกษานี้ 2 ชนิด คือ ดินลูกรังกอหงส์และดินเหนียวภาวะ袖 ซึ่งดินทั้งสองถูกจำแนกเป็น ดินเหนียวที่มีความเป็นพลาสติกต่ำ (CL) ตาม Unified soil classification system ค่าความหนาแน่นแห้งและความพุ่นเท่ากับ  $1718 \text{ kg/m}^3$  และ  $0.38$  สำหรับดินลูกรัง และ  $1560 \text{ kg/m}^3$  และ  $0.42$  สำหรับดินเหนียวภาวะเรินตามลำดับ

#### 3.2 การทดสอบแบบแบบทช (Batch Adsorption Test)

การทดสอบแบบแบบทช ทำโดยใช้ ดินลูกรังและดินเหนียวภาวะที่ผ่านตะแกรงเบอร์ 200 ตัวอย่างละ  $1 \text{ g}$  นำมายาดในสารละลายโลหะหนักทั้ง 5 ชนิด ที่มีความเข้มข้นตั้งแต่  $1 \text{ mg/L}$  ถึง  $4,000 \text{ mg/L}$  โดยในแต่ละความเข้มข้นมีปริมาตร  $25 \text{ mL}$ . [3] ใช้ความเข้มข้นทั้งหมด ประมาณ  $12-18$  ค่าความเข้มข้น และทำการทดสอบซ้ำในแต่ละความเข้มข้น 2 ช้ำ

ในแต่ละการทดลอง เริ่มต้นจากน้ำดินมาใส่ในขวด Centrifuge ขนาด  $30 \text{ mL}$  หลังจากนั้นนำสารละลายโลหะหนักที่เตรียมไว้มาผสม ทำหลอดทดลองควบคุม (Blank) ซึ่งเป็นดินผสานน้ำกับล้วนปิดฝา แล้วนำไปเขย่าหันที่ ด้วยเครื่องเขย่า ที่ความเร็วรอบ  $300 \text{ rpm}$  เป็นเวลา 24 ชั่วโมง หลังจากนั้นนำไปปั่นให้ชั้นของดินและสารละลายโลหะหนักแยกชั้นกัน ด้วยเครื่อง Centrifuge Sorwall Super T21 ที่ความเร็วรอบประมาณ  $4,000-8,000 \text{ rpm}$  เป็นเวลา  $10 \text{ min}$  ที่อุณหภูมิ  $20^\circ\text{C}$  แล้วนำสารละลายโลหะหนักที่แยกจากชั้นดินอยู่ด้านบนของหลอดทดลอง ไปเจือจางแล้ววิเคราะห์หาความเข้มข้นของโลหะหนักด้วยเครื่อง Flame Atomic Absorption Spectrophotometer ที่ห้อ Varian รุ่น 220 A Australia ในการทดลอง Batch นี้ จะใช้ความเข้มข้นของสารละลายประมาณ 12 ค่า ต่อหนึ่งชนิดของดินและต่อหนึ่งชนิดของโลหะหนัก ดังนั้นการทดลอง Batch ทั้งหมดรวมเป็นจำนวน 72 ครั้ง

#### 3.3 การทดสอบแบบส่วนภักดี (Column Test)

การทดสอบแบบส่วนภักดีทำโดยนำดินลูกรัง และดินเหนียวมาเริ่น มาเพิ่มความชื้นเพื่อให้มีปริมาณความชื้นที่มากกว่าปริมาณความชื้นที่เหมาะสม  $2\%$  (เท่ากับ  $20\%$  และ  $19\%$  สำหรับดินลูกรังและดินเหนียวตามลำดับ) แล้วปล่อยทิ้งไว้ 24 ชั่วโมง เพื่อให้ความชื้นกระจายทั่วมวลดิน จากนั้นนำดินไปบดอัดใน mold โดยใช้เครื่องบดอัดอัตโนมัติ (ELE Automatic Compactor) ตามมาตรฐาน Standard Proctor Compaction ASTM (D698) จากนั้นนำดินที่บดอัดแล้วไปทดลองหาค่าสัมประสิทธิ์การขอนให้น้ำซึ่งผ่านด้วยวิธี Constant Head Test Method ASTM (D2434)

เมื่อค่า  $K$  คงที่แล้ว จากนั้นทำการเปลี่ยนสารละลายที่ใช้ทดลองผ่านดินจากน้ำ DI มาเป็นสารละลายโลหะหนักผสม (Mixed Solution) ซึ่งมีความเข้มข้นของโลหะหนักแต่ละชนิดเท่ากับ  $0.001 \text{ M}$  ซึ่งเตรียมโดยละลาย  $\text{CdCl}_2$ ,  $\text{PbCl}_2$ , และ  $\text{ZnCl}_2$  ด้วยน้ำ DI เมื่อปล่อยให้สารละลายโลหะหนักผสมไหลผ่านไปในดินตามระยะเวลาที่ต้องการแล้ว ทำการอุดดินตัวอย่างออกจาก Mold แล้วแบ่งดินตามความหนา ออกเป็น 6 ชั้น โดยแต่ละชั้นมีความหนาประมาณ  $1 \text{ cm}$  ดินแต่ละชั้นถูกนำไปหาความเข้มข้นของสารละลายโลหะหนักที่ถูกดินดูดดึง

การหาความเข้มข้นของสารละลายน้ำหนักที่ถูกดินคุกติดผิวทำการสกัดโดยหัวน้ำออกจากดินด้วยวิธีการบอยด์ด้วยกรด [4] โดยนำดินที่บดแล้ว 0.5 g ใส่ในบิกเกอร์เติมกรด  $\text{HNO}_3$  2 mL และกรด  $\text{HCl}$  4 mL เพื่อสกัดโลหะหนักออกจากดินแล้วปิดด้วยกระดาษพิก้าเพื่อป้องกันการระเหยแล้วนำไปวางไว้บน Hot plate ที่อุณหภูมิประมาณ  $100^\circ\text{C}$  นาน 2 ชั่วโมง จากนั้นนำไปกรองด้วยกระดาษกรอง Whatman เบอร์ 42 เจือจางด้วยกรด  $\text{HNO}_3$  1 % แล้วปรับปริมาตรให้ได้ 50 mL แล้วนำไปวิเคราะห์หาความเข้มข้นของโลหะหนัก

ความเข้มข้นของโลหะหนักจากการสกัดโดยหัวน้ำออกด้วยดินที่แบ่งเป็นชั้นๆ ( $C_s$ ) ถูกนำไปคำนวณหาอัตราส่วนระหว่างความเข้มข้นของโลหะหนักที่ถูกคุกติดผิวในดิน ( $C_s$ ) ต่อความเข้มข้นสูงสุดของโลหะหนักที่ถูกคุกติดผิว ( $C_{sm}$ ) ของโลหะหนักในบริเวณดินชั้นแรก (ลึกประมาณ 0.7 cm) เรียกว่าความเข้มข้นสัมพัทธ์ (Relative adsorbed concentration,  $C_s/C_{sm}$ )

การคำนวณหาค่า  $R$  ทำได้โดยคำนวณค่า  $C_s/C_{sm}$  โดยใช้สมการที่ 3 โดยการลองผิดลองถูกค่า  $R$  ไปเรื่อยๆ ค่า  $R$  ที่ถูกต้องจะเป็นค่า  $R$  ที่ทำให้ค่า  $C_s/C_{sm}$  ที่คำนวณได้สอดคล้องกับค่า  $C_s/C_{sm}$  ที่ได้จากการทดสอบแบบสอดคล้อง

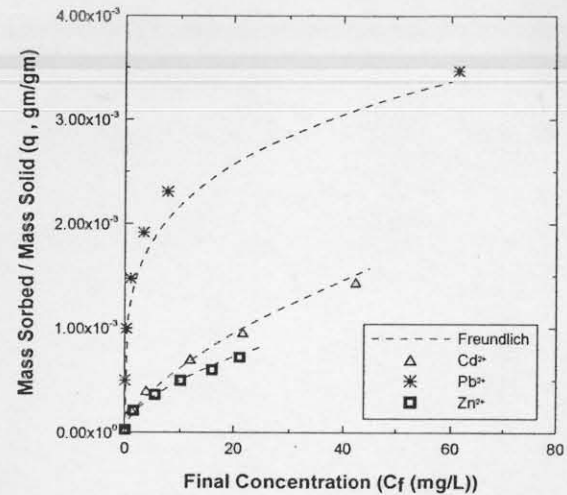
#### 4. ผลการศึกษา

##### 4.1 ผลการทดสอบแบบทั่วไป

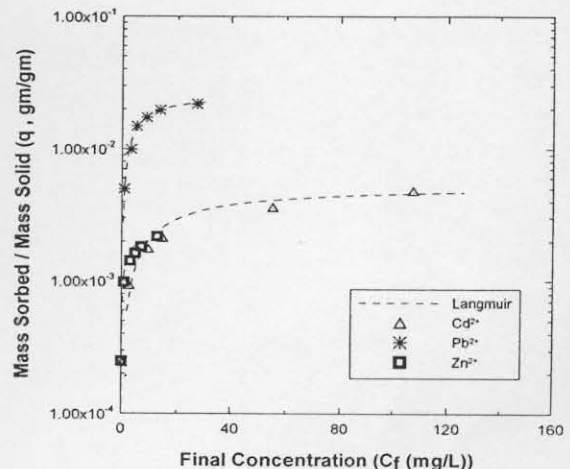
ผลการทดสอบแบบทั่วไปของไอโซเทอโนมแสดงความสัมพันธ์ระหว่างอัตราส่วนของมวลโลหะหนักที่ถูกคุกติดผิวต่อมวลของดินลูกรังที่ใช้ในการทดสอบ ( $q$ ) และความเข้มข้นสุดท้ายของสารละลายน้ำหนักเมื่อกระบวนการคุกติดผิวสมดุลแล้ว (Equilibrium concentration,  $C_f$ ) ผลการทดลองพบว่าสมการไอโซเทอโนมของ Freundlich และ Langmuir สอดคล้องกับดินลูกรังและดินเหนี่ยวมารีนตามลำดับ ดังแสดงในรูปที่ 2 และ 3

อย่างไรก็ตามสำหรับสารละลายน้ำหนักในส่วนที่ความเข้มข้นต่ำ ไอโซเทอโนมในส่วนนี้จะประมาณได้ว่ามีลักษณะเป็นเส้นตรง [5] ผลการฟิตไอโซเทอโนมส่วนที่มีความเข้มข้นต่ำด้วยสมการเส้นตรง แสดงในรูปของความชัน หรือค่าสัมประสิทธิ์การแบ่งได้แสดงไว้ในตารางที่ 1 สำหรับทุกโลหะหนักสัมประสิทธิ์การแบ่งของดินเหนี่ยวมารีนมีค่ามากกว่าของดินลูกรัง

เนื่องจากความชันของไอโซเทอโนมของดินเหนี่ยวมารีนมีค่ามากกว่าดินลูกรัง



รูปที่ 2 ไอโซเทอโนมของดินลูกรัง



รูปที่ 3 ไอโซเทอโนมของดินเหนี่ยวมารีน

ตารางที่ 1 ค่าสัมประสิทธิ์การแบ่ง ( $K_p$ )

โลหะหนัก	$K_p$ (L/kg)	
	ดินลูกรัง	ดินเหนี่ยวมารีน
Pb <sup>2+</sup>	56.48	801.96
Zn <sup>2+</sup>	34.19	288.13
Cd <sup>2+</sup>	33.99	65.55

##### 4.2 ผลการทดสอบแบบสอดคล้อง

ผลการทดสอบแบบสอดคล้องของความสัมพันธ์ระหว่าง  $C_s/C_{sm}$  และความลึก (Relative adsorbed concentration profile) ได้แสดงไว้ในรูปที่ 4 และ 5 สำหรับดินลูกรังและดินเหนี่ยวมารีน ตามลำดับ โดยสังเกตได้ว่าค่า  $C_s/C_{sm}$  จะมีค่าสูงในบริเวณด้านบนของดิน เนื่องจากความเข้มข้นของดินเหนี่ยวมารีนมีค่ามากกว่าของดินลูกรัง

สามารถอธิบายได้ว่า คินที่ด้านบนมีการคุกคิดผิวบ้ำงเห็นความสามารถแล้ว ในขณะที่ดัวบ้ำงคินในบริเวณที่ลึกลงยังสามารถดูดโลหะหนักติดผิวได้อีก สำหรับคินเหนือภารีนซึ่งใช้เวลาในการทดลอง 388 วัน ค่า  $C_e/C_{sm}$  ที่ด้านล่างสุดของดัวบ้ำงคินเป็นศูนย์ซึ่งหมายความว่าขังไม่มีสารละลายโลหะหนักเคลื่อนที่มาถึงระดับนี้เลย

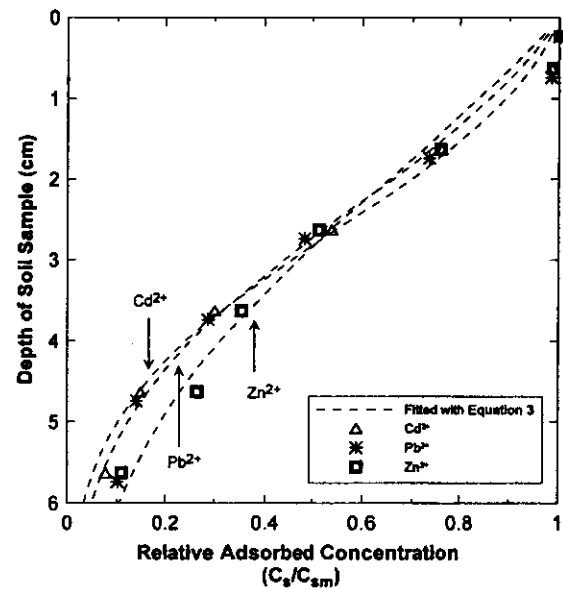
เมื่อพิจารณา Relative adsorbed concentration profile โดยการ trial and error ค่าพารามิเตอร์การเคลื่อนที่ R ของ Relative adsorbed concentration profile ที่พอดีด้วยแทนค่า R ลงในสมการที่ 3 ให้ผลสอดคล้องกับ Relative adsorbed concentration profile จากผลการทดลองแบบสคอมก์ เส้นประในรูปที่ 4 และ 5 แสดง Relative adsorbed concentration profile ที่ได้จากการที่ 3 ค่า R ที่สอดคล้องกับผลการทดลองแบบสคอมก์และค่า R จากนักวิจัยอื่นๆได้แสดงไว้ในตารางที่ 2 ผลจากการพิจารณา Relative adsorbed concentration profile บังประกอบด้วยค่า Diffusion coefficient (D) อิกด้วย แต่ค่าดังกล่าวอยู่นอกเหนือขอบเขตของ Paper นี้จึงไม่ขอกล่าวถึง

#### 4.3 ค่าแฟคเตอร์การหน่วง

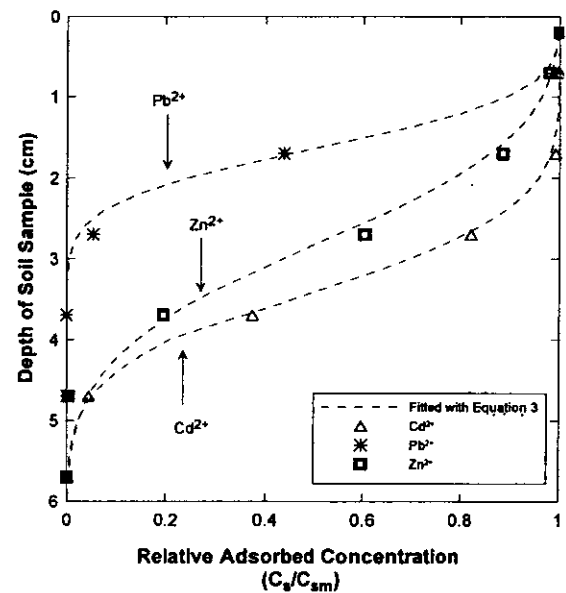
ค่า R ของคินลูกรังและคินเหนือภารีน คำพวนจากผลการทดสอบแบบทัชและผลการทดสอบแบบสคอมก์โดยใช้สมการที่ 2 และ 3 ตามลำดับได้แสดงไว้ในตารางที่ 2 เมื่อเปรียบเทียบค่า R ที่คำพวนจากการทดสอบแบบทัชและการทดสอบแบบสคอมก์พบว่า ค่า R ที่คำพวนได้จากการทดสอบสคอมก์มีค่าน้อยกว่าอย่างมากและเป็นค่าที่น่าเชื่อถือมากกว่า เพราะว่าคำพวนจากการทดสอบการเคลื่อนที่และการคุกซับจริงของสารละลายโลหะหนักในคินบดอัด ในขณะที่ค่า R ที่คำพวนได้จากการทดสอบแบบทัชเป็นค่าประมาณที่ให้ค่าต่อนข้างสูงเนื่องจากเป็นการทดสอบกับสารแขวนลอยที่มีพื้นที่ผิวนานและไม่มีการไหลของน้ำจึงสามารถคุกซับโลหะหนักอย่างบ้ำงสมบูรณ์ [4,6]

ความสามารถในการหน่วงของคินเหนือบ้ำงต่อโลหะหนักสามารถพิจารณาได้จากค่า R โดยคินเหนือภารีที่สามารถหน่วงโลหะหนักนิมั้นๆ ได้ดีกว่า จะมีค่า R มากกว่า ซึ่งเมื่อพิจารณาค่า R ของคินทั้ง 2 ชนิดสำหรับโลหะหนักทั้ง 3 ชนิด จากผลการทดสอบแบบสคอมก์ในตารางที่ 2 พบว่า เมื่อพิจารณาในแต่ละชนิดของโลหะหนัก คินเหนือภารีนสามารถหน่วงโลหะหนักได้ดีกว่าคินลูกรัง ซึ่งสอดคล้องกับความสามารถและเปลี่ยนประจุ

บวก (Cation exchange capacity) ของคินเหนือภารีนที่มีมากกว่าของคินลูกรัง [7]



รูปที่ 4 Relative adsorbed concentration profile ของสารละลายโลหะหนักในคินลูกรังที่เวลา 71 วัน สำหรับ  $Pb^{2+}$  และ 31 วัน สำหรับ  $Cd^{2+}$  และ  $Zn^{2+}$



รูปที่ 5 Relative adsorbed concentration profile ของสารละลายโลหะหนักในคินเหนือภารีนที่เวลา 388 วัน

ลำดับการหน่วงของโลหะหนักทั้ง 3 ชนิดเมื่อพิจารณาจากค่า R จากผลการทดสอบแบบสคอมก์ (ตารางที่ 2) พบว่าทั้งคินลูกรังและคินเหนือภารีนมีค่า R สำหรับ  $Pb^{2+} > Zn^{2+} > Cd^{2+}$  และคงให้เห็นว่า คินทั้ง 2 ชนิด สามารถหน่วง  $Pb^{2+}$  ได้ดีที่สุด และที่มีความสามารถในการหน่วง  $Cd^{2+}$  ได้ต่ำที่สุด

ตารางที่ 2 ค่า R ของคินลูกรังและคินเนนิขวมารีนค่าพวนจากผลการทดสอบแบบเบนทร์และแบบสกอน

โลหะ หนัก	ค่าเพ็คเตอร์การหน่วง (Retardation factor, R)					
	คินลูกรัง		คินเนนิขวมารีน		Lufkin clay*	
	แบบร'	สกอน	แบบร'	สกอน		
Pb <sup>2+</sup>	258.1	50.2	3014.8	79.10	-	347-647
Zn <sup>2+</sup>	156.7	16.7	1083.8	51.36	92.7	-
Cd <sup>2+</sup>	115.7	10.0	247.3	37.00	371.0	33-45

\*[2], \*\*[8]

## 5. สรุป

ผลการทดสอบแบบเบนทร์และผลการทดสอบแบบสกอนที่โดยใช้คินลูกรังและคินเนนิขวมารีนกับโลหะหนักสามชนิดอันได้แก่ Pb<sup>2+</sup>, Cd<sup>2+</sup>, และ Zn<sup>2+</sup> สามารถสรุปผลการทดลองได้ดังนี้

1) ผลการทดสอบแบบเบนทร์พบว่าสมการ ไอโซเทอมของ Freundlich และ Langmuir สอดคล้องกับไอโซเทอมคินลูกรังและคินเนนิขวมารีนตามลำดับ

2) ผลการทดสอบแบบเบนทร์ในส่วนที่มีความเข้มข้นต่ำ สามารถประมาณได้ว่า ไอโซเทอมมีลักษณะเป็นเส้นตรงโดยความชันของไอโซเทอมแบบเส้นตรงก็คือค่าสัมประสิทธิ์การแบบ และ สัมประสิทธิ์การแบบของคินเนนิขวมารีนมีค่ามากกว่าของคินลูกรังในทุกชนิดของโลหะหนัก

3) ผลการทดสอบแบบสกอนที่แสดงในรูปของ Relative adsorbed concentration profile สำหรับคินทั้งสองชนิดและโลหะหนักทั้งสามชนิด ค่า Relative adsorbed concentration มีค่าสูงบริเวณด้านบนของตัวอย่าง (ด้านนำ) และมีค่าลดลงตามความลึกซึ่งสามารถอธิบายได้ว่า คินที่ด้านบนมีการคุกคิดผิวอย่างเดิม ความสามารถแล้ว ในขณะที่ตัวอย่างคินในบริเวณที่ลึกลงซึ่งสามารถดูดโลหะหนักติดผิวได้อีก

4) ค่า R ที่คำพวนได้จากการทดสอบแบบสกอนมีค่าน้อยกว่าค่า R ที่คำพวนจากผลการทดสอบแบบเบนทร์อย่างมาก โดยค่า R จากผลการทดสอบแบบสกอนเป็นค่าที่น่าเชื่อถือมากกว่า

5) พิจารณาค่า R ของของโลหะหนักแต่ละชนิด คินเนนิขวมารีนสามารถหน่วงโลหะหนักได้ดีกว่าคินลูกรัง

6) สำหรับคินทั้งสองชนิด ลำดับการหน่วงของโลหะหนักมีดังนี้ Pb<sup>2+</sup> > Zn<sup>2+</sup> > Cd<sup>2+</sup>

## 6. กิตติกรรมประกาศ

งานวิจัยชิ้นนี้ได้รับการสนับสนุนทุนวิจัยจากสำนักงานกองทุนสนับสนุนการวิจัย ตามสัญญาหมายเลข MRG 4680044 ผู้เขียนขอขอบคุณคุณ พศ.คร. เพ็ญใจ สมพงษ์ชัยฤทธิ์ พศ.คร. ศุภมงคล ไชยประพักษ์ และ พศ.คร. ภกามาศ เจริญพัฒนานนท์ สำหรับข้อเสนอแนะในการทำวิจัย ขอขอบคุณคุณพิพิชา แซ่จึง และคุณพลวัฒน์ คงสม สำหรับความช่วยเหลือในการทำการทดลอง

## 7. เอกสารอ้างอิง

- [1] Freeze, R.A. and Cherry, J.A., 1979. *Groundwater*, Prentice-Hall, Englewood Cliffs, New Jersey.
- [2] Shackelford, C.D., 1990. Transit-Time Design of Earthen Barriers. *Engineering Geology*, 29 : 79-94.
- [3] Li, Loretta Y. and Li, Franky, 2001. Heavy Metal Sorption and Hydraulic Conductivity Studies Using Three Types of Bentonite Admixes. *Journal of Environmental Engineering*, 127(5) : 420-429
- [4] Tanchuling, M.A., Khan, M.R. and Kusakabe, O. 2003. Zinc Sorption in Clay Using Batch Equilibrium and Column Leaching Tests. *RMZ-Materials and Geoenvironment*. 50(1): 381-384.
- [5] Fetter, C.W. 1993. *Contaminant Hydrogeology*, Prentice Hall, New Jersey.
- [6] Shackelford, C.D., 1994. Critical Concepts for Column Testing, *Journal of Geotechnical Engineering*, ASCE, 120, 1804-1828.
- [7] นันทนนิค จริญไชสง, 2549. ศึกษาพารามิเตอร์ทางเคมีและคินเนนิขวมารีนที่ใช้เป็นชั้นกันชื้นในสถานที่ฝังกลบบุบบ่ออย วิทยานิพนธ์วิทยาศาสตร์มหาวิทยาลัยสงขลานครินทร์
- [8] Roehl, K.E. and Czurda, K. 1998. Diffusion and Solid Speciation of Cd and Pb in Clay Liners, *Applied Clay Science*, 12, 387-402.